

# Los Grupos de Difeomorfismos de $\mathbb{R}^n$ y $\mathbb{C}^n$

**Dr. Jesús Muciño Raymundo**

Profesor-Investigador del Centro en Ciencias  
Matemáticas, UNAM-Morelia

**RESUMEN.** Los números cuentan, los grupos miden la simetría de un objeto. Nuestros objetos son los espacio  $\mathbb{R}^n$  y  $\mathbb{C}^n$ . ¿Cómo son sus grupos de difeomorfismos polinomiales, *i.e.* sus simetrías polinomiales? Los difeomorfismos de  $\mathbb{R}^n$  (resp.  $\mathbb{C}^n$ ) son ingredientes primordiales en situaciones geométricas elementales. Una dicotomía aparece; a veces los difeomorfismos son un lenguaje formal que nos permite enunciar resultados, otras veces hallarlos explícitamente resulta de máximo interés. Para  $n \geq 2$ , el grupo difeomorfismos polinomiales de  $\mathbb{R}^n$  (resp.  $\mathbb{C}^n$ ) es enorme, es de “dimension infinita”. Bosquejamos el problema abierto de la conjetura Jacobiana para esos grupos.

## 1. Isomorfismos

Entre otras cosas, las matemáticas construyen modelos de las ciencias naturales y sociales, e incluso (tautológicamente) modelos de objetos emanados de ellas mismas. El ejemplo Neanderthal son los números naturales  $\mathbb{N}$ ; ellos son la herramienta elemental para cuantificar. Es usual decir que:

Dos objetos matemáticos son esencialmente el mismo cuando son iguales salvo *isomorfismo*.

Por ejemplo, hay distintas formas de escribir los números naturales  $\mathbb{N}$  y sus operaciones; arábiga, decimal, china, maya, binaria, etc. Todas ellas determinan un solo objeto  $\mathbb{N}$ , salvo isomorfismo.

A priori, el determinar la existencia de un isomorfismo entre dos objetos puede ser altamente no trivial. En efecto, recordemos la tarea de describir todas las parejas  $\{p/q\} \subset \mathbb{Q}$  que determinan un mismo número racional y seleccionar un representante canónico en cada clase. Esta tarea nos permite vislumbrar el lugar privilegiado de los números primos en las matemáticas.

Dados un objeto matemático  $O$ , la pregunta ¿de cuántas maneras podemos escribirlo? da origen a la noción de *automorfismo*

$$a : O \rightarrow O$$

de dicho objeto.

Evidentemente todos los automorfismos  $\{a\}$  de un objeto  $O$  forman un *grupo*  $G$  bajo la composición.

El inverso es cierto; todo grupo abstracto  $G$  aparece como el grupo de automorfismos de un objeto  $O$ . Por ejemplo ver V. I. Arnold [1].

Tenemos tres conceptos:

*isomorfismo, automorfismo, grupo.*

Recordando nuestros primeros cursos de cálculo, consideramos una clase de diferenciabilidad  $r \in \{1, 2, \dots, \infty\}$  fija y dos abiertos  $U, V$  de  $\mathbb{R}^m$ . La amalgama de isomorfismo con diferenciabilidad nos proporciona la siguiente:

**Definición.** Un *difeomorfismo* entre los abiertos  $U$  y  $V$ , de clase  $C^r$ , es una aplicación

$$\phi : U \subseteq \mathbb{R}^m \rightarrow V \subseteq \mathbb{R}^m$$

tal que

- i)  $\phi$  es biyección,
- ii)  $\phi$  es de clase  $C^r$ ,
- iii)  $\phi^{-1}$  es también de clase  $C^r$ .

En este trabajo, los conceptos de difeomorfismo y *cambio de coordenadas* son sinónimos.

Para  $U \neq V$ , un difeomorfismo  $\phi$  es un isomorfismo diferenciable entre  $U$  y  $V$ .

Para  $U = V$ , un difeomorfismo  $\phi$  es un automorfismo diferenciable de  $U$ .

## 2. Los difeomorfismos son útiles.

### 2.1. Clasificación de curvas planas salvo automorfismos afines.

Recordemos nuestro primer curso de geometría analítica. El grupo de difeomorfismos o cambios de coordenadas lineales de  $\mathbb{R}^n$  es

$$GL(m, \mathbb{R}) = \{L : \mathbb{R}^m \rightarrow \mathbb{R}^m \mid \text{lineal e invertible}\}.$$

Adicionalmente, el grupo de los difeomorfismos afines tiene como elementos a las composiciones de transformaciones lineales con traslaciones,

$$GL(m, \mathbb{R}) \rtimes \mathbb{R}^m = \{ \phi : \mathbb{R}^m \rightarrow \mathbb{R}^m \mid \bar{x} \mapsto L(\bar{x}) + \bar{b} \}.$$

Él es un producto semidirecto  $\rtimes$  del grupo general lineal y el grupo de traslaciones; no es un grupo abeliano.

Por otra parte, una cónica en  $\mathbb{R}^2$  es un conjunto de la forma

$$\{(x, y) \mid a_1x^2 + a_2xy + a_3y^2 + a_4x + a_5y + a_6 = 0, \\ (a_1, a_2, a_3) \neq \bar{0}\} \subset \mathbb{R}^2.$$

La clasificación de cónicas salvo difeomorfismos afines es el espacio cociente

$$\frac{\text{cónicas en } \mathbb{R}^2}{GL(2, \mathbb{R}) \rtimes \mathbb{R}^2}.$$

Dos cónicas están en la misma clase de equivalencia si existe una transformación afín que lleva una en otra. Este espacio consiste de ocho clases de equivalencia

un círculo	$x^2 + y^2 = 1$
una hipérbola	$x^2 - y^2 = 1$
una parábola	$y - x^2 = 0$
dos rectas que se cruzan	$xy = 0$
dos rectas paralelas	$x^2 - 1 = 0$
una recta doble	$x^2 = 0$
un punto	$x^2 + y^2 = 0$
el vacío	$x^2 + y^2 = -1.$

En palabras el resultado es; hay ocho cónicas salvo difeomorfismo afín, *i.e.* cada cónica puede transformarse en una y solo una cónica de la lista bajo un difeomorfismo afín  $\phi$  adecuado.

Un problema muy interesante, cuyo estudio fue iniciado I. Newton, es el caso de cúbicas.

¿Cuántas clases  $\frac{\text{cúbicas en } \mathbb{R}^2}{GL(2, \mathbb{R}) \rtimes \mathbb{R}^2}$  hay?

El lector queda invitado a buscar la respuesta en la literatura.

## 2.2. Difeomorfismos entre abiertos del plano.

Recordemos nuestro primer curso de topología. La figura 2 ilustra tres abiertos de  $\mathbb{R}^2$  tales que existen cambios de coordenadas  $\phi : \mathbb{R}^2 \rightarrow \mathbb{R}^2$  entre ellos.

Los tres abiertos en la figura son difeomorfos, *i.e.* existen difeomorfismos  $\phi$  que transforman uno a otro. Esta idea geométrica ha sido usada para la clasificación de las formas de los seres vivos. En ese estudio la diversidad de formas geométricas, salvo difeomorfismo  $C^1$  es importante. Ver [18], [19].

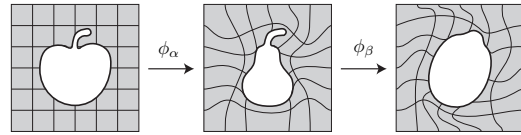


Fig 1. Tres figuras en el plano  $\mathbb{R}^2$  y difeomorfismos  $\phi_\alpha, \phi_\beta$  entre ellas.

## 2.3. Solución de polinomios.

Recordemos nuestro primer curso de álgebra. La aplicación de Viète (de grado dos) envía dos puntos  $z_1, z_2$  en los coeficientes “ $b, c$ ” del polinomio mónico de grado dos que tiene a dichos puntos como raíces. Esto es

$$(z_1, z_2) \mapsto z^2 - (z_1 + z_2)z + z_1z_2 = z^2 + bz + c$$

Ver figura 2.

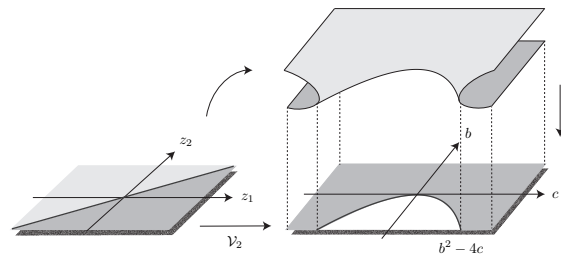


Fig 2. La aplicación de Viète envía raíces a coeficientes.

En el caso general, consideramos  $\mathbb{C}[z]_{=n}$  el espacio de polinomios de una variable compleja con grado exactamente  $n \geq 2$ . La aplicación de Viète  $\mathcal{V}_n$  envía un coeficiente líder  $c_n$  y un conjunto de  $n$  puntos sin orden y quizá con repeticiones  $\{z_1, \dots, z_n\}$ , en los coeficientes del polinomio de grado  $n$  con esos puntos como raíces y  $c_n$  como coeficiente líder. Esto es

$$\mathbb{C}^* \times \mathbb{C}^n \rightarrow \mathbb{C}^* \times \frac{\mathbb{C}^n}{\text{Sim}(n)} \xrightarrow{\mathcal{V}_n} \mathbb{C}^{n+1} \setminus \{c_n = 0\}$$

$$(c_n, z_1, \dots, z_n) \mapsto (c_n, [z_1, \dots, z_n]) \mapsto (c_n, c_{n-1}, \dots, c_0) \\ = (c_n, -c_n(z_1 + \dots + z_n), \dots, (-1)^n c_0(z_1 \cdots z_n)) \\ = c_n(z - z_1) \cdots (z - z_n) = c_n z^n + \dots + (-1)^n c_0(z_1 \cdots z_n).$$

Donde  $\text{Sim}(n)$  es el grupo de permutaciones de  $n$  elementos y  $[\ ]$  denota la clase salvo permutaciones. Partiendo del coeficiente líder y las raíces con orden

$$(c_n, z_1, \dots, z_n)$$

obtenemos: el polinomio con raíces sin orden,

$$c(z - z_1) \cdots (z - z_n) = c_n z^n + \dots + c_1 z + c_0.$$

Es interesante preguntar, si los coeficientes de un polinomio dependen diferenciablemente de las raíces. Inversamente,

¿las raíces dependen diferenciablemente de los coeficientes? (★)

El concepto de difeomorfismo es el lenguaje natural para ambas cuestiones.

**Teorema.** 1. Para cada bola abierta  $U$  suficientemente pequeña tal que no interseca los conjuntos de repetición de raíces  $\Delta_{ij} = \{z_i = z_j \mid \text{para } i, j\}$ , la aplicación

$$\mathcal{V}_n : U \subset \mathbb{C} \times \frac{\mathbb{C}^n}{\text{Sim}(n)} \longrightarrow \mathcal{V}_n(U) \subset \mathbb{C}^{n+1} \setminus \{c_n = 0\}$$

es un difeomorfismo (sobre su imagen) de clase  $C^\infty$ .

2.  $\mathcal{V}_n^{-1}$  no existe como función en todo  $\mathbb{C}^{n+1} \setminus \{c_n \neq 0\}$ , pero

$$\mathcal{V}_n^{-1} : \mathcal{V}_n(U) \longrightarrow U$$

es una función diferenciable.

La afirmación (2) responde a (★). Esto es, en dominios suficientemente pequeños  $\mathcal{V}_n$  es difeomorfismo y sus puntos singulares (donde la diferencial  $D\mathcal{V}_n$  es de rango menor o igual a  $n+1$ ) provienen de  $\Delta_{ij}$ . Conforme  $n$  crece, la geometría de  $\mathcal{V}_n$  se torna más intrincada, ver [10].

## 2.4. Solución de ecuaciones diferenciales.

Recordemos el siguiente resultado de nuestro segundo curso de ecuaciones diferenciales, podríamos llamarlo “el diccionario”.

**Teorema.** E. Picard. En  $\mathbb{R}^m$  existe una correspondencia biyectiva entre:

i) Campos vectoriales de clase  $C^1$

$$\begin{aligned} V : \mathbb{R}^m &\longrightarrow T\mathbb{R}^m \\ (x_1, \dots, x_m) &\longmapsto V_1(x_1, \dots, x_m) \frac{\partial}{\partial x_1} + \dots \\ &\quad + V_m(x_1, \dots, x_m) \frac{\partial}{\partial x_m}. \end{aligned}$$

ii) Sistemas de ecuaciones diferenciales ordinarias de clase  $C^1$

$$\begin{cases} \frac{dx_1}{dt} = V_1(x_1, \dots, x_m) \\ \vdots \\ \frac{dx_m}{dt} = V_m(x_1, \dots, x_m). \end{cases}$$

iii) Flujos locales de clase  $C^1$

$$\begin{aligned} \Phi : \Omega \subseteq (\mathbb{R}_t \times \mathbb{R}^m) &\longrightarrow \mathbb{R}^m \\ (t, (x_1, \dots, x_m)) &\longmapsto \Phi(t, (x_1, \dots, x_m)), \end{aligned}$$

donde por definición

$\Phi(t, \dots) = Id$  en  $\mathbb{R}^m$  y

$\Phi(t_1, \dots) \circ \Phi(t_2, \dots) = \Phi(t_1 + t_2, \dots)$  cuando ambas composiciones están bien definidas.

La correspondencia (i)  $\Leftrightarrow$  (ii) es simple notación. Mientras que (iii)  $\Rightarrow$  (ii) sigue de definir

$$\Phi(t, (x_1, \dots, x_m)) = \begin{cases} \text{posición } (x_{1t}, \dots, x_{mt}) \text{ después} \\ \text{de tiempo } t \text{ de la trayectoria} \\ \text{solución de (ii) que a tiempo} \\ t = 0 \text{ estaba en } (x_1, \dots, x_m). \end{cases}$$

La parte difícil (ii)  $\Rightarrow$  (iii) se conoce como la existencia y unicidad de soluciones de ecuaciones diferenciales ordinarias, ella puede enunciarse como sigue.

**Teorema.** E. Picard. Si un campo vectorial  $V$  no se anula en un punto  $(x_1, \dots, x_m)$ , entonces existe un difeomorfismo  $\phi$  de clase  $C^1$  en una vecindad  $U$  del punto, tal que transforma el campo vectorial  $V$  en el nuevo campo vectorial

$$\phi_* V = 1 \frac{\partial}{\partial x_1} + 0 \frac{\partial}{\partial x_2} + \dots + 0 \frac{\partial}{\partial x_m} \quad \text{sobre } \phi(U).$$

La hipótesis es simple;  $V$  de clase  $C^1$  en  $\mathbb{R}^m$  y no se anula en un punto. La conclusión es muy fuerte; la existencia y unicidad de las trayectorias solución.

La figura 3 muestra las soluciones de un campo vectorial  $V$  en  $\mathbb{R}^2$  y cuatro puntos; en la vecindad de dos de ellos el teorema se aplica.

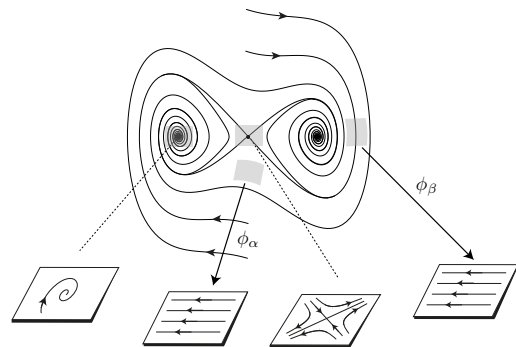


Fig 3. Si un campo vectorial  $V$  no se anula ciertos puntos, entonces sus soluciones en vecindades  $U_\alpha$  de ellos y se expresan mediante un difeomorfismos  $\phi_\alpha$ .

Es bien conocido que para campos vectoriales polinomiales  $V$  en  $\mathbb{R}^2$  de grado 1, la solución (prevista por el teorema de Picard) es elemental y explícita, presentándose casi una docena de comportamientos cualitativos para sus trayectorias solución. Mientras que en  $\mathbb{R}^2$ , para  $V$  de grado 2 no hay esperanza de hallar soluciones explícitas en lo general y se esperan alrededor de 2500 comportamientos cualitativos.

## 2.5. ¿A qué se debe su utilidad?

Los difeomorfismos  $\phi$  son útiles debido a que transforman objetos y estructuras en  $U \subseteq \mathbb{R}^m$  a otros objetos y estructuras en  $\phi(U) \subseteq \mathbb{R}^m$ . Consideremos un cambio de coordenadas

$$\phi : U \subseteq \mathbb{R}^m \longrightarrow V \subseteq \mathbb{R}^m$$

de clase  $C^r$ , ver figura 4, sucede que:

- i)  $\phi$  transforma puntos  $p$  de  $U$  en puntos  $\phi(p)$  de  $V$ .
- ii)  $\phi$  transforma funciones  $f : U \rightarrow \mathbb{R}$  en funciones  $f \circ \phi^{-1} : V \rightarrow \mathbb{R}$ .
- iii)  $\phi$  transforma trayectorias  $\gamma \subset U$  en trayectorias  $\phi \circ \gamma \subset V$ .
- iv)  $\phi$  transforma vectores tangentes  $\frac{dy}{dt}$  de  $U$  en vectores tangentes  $\frac{d(\phi \circ \gamma)}{dt}$  de  $V$ .
- v)  $\phi$  transforma ecuaciones diferenciales en  $U$  en ecuaciones diferenciales en  $V$ .
- vi)  $\phi$  transforma soluciones de una ecuación diferencial en  $U$  en soluciones de la ecuación diferencial respectiva en  $V$ .

⋮

Los puntos suspensivos nos sugieren que esta idea de transformación puede aplicarse a muchos otros objetos y estructuras en  $U$ , ver Fig. 4. Dicho de manera tautológica, un cambio de coordenadas  $\phi$ : transforma un objeto matemático  $O$  sobre  $U$ , en otro objeto  $\phi_*O$  sobre  $V$ , de manera fiel. Esta es una de las ideas de la teoría de categorías, ver la introducción de [13].

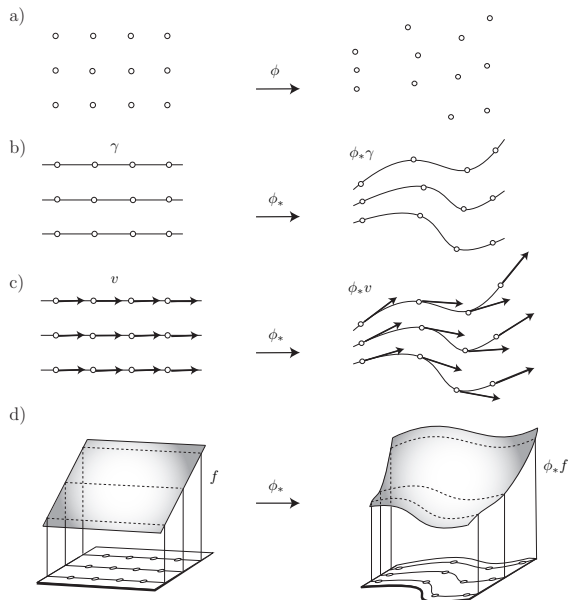


Fig 4. Un difeomorfismo local  $\phi$  transforma; a) puntos en puntos, b) trayectorias en trayectorias, c) vectores tangentes en vectores tangentes, d) funciones en funciones.

## 3. Una virtud y dos problemas.

**Una virtud.** Consideramos una función

$$\phi : W \subseteq \mathbb{R}^m \longrightarrow \mathbb{R}^m$$

de clase  $C^1$ . Si su diferencial  $D\phi$  es no nula en un punto  $(x_{10}, \dots, x_{m0}) \in W$ , entonces el teorema de la función inversa nos dice que la inversa

$$\phi^{-1} : \phi(U) \subset \mathbb{R}^m \longrightarrow U \subset \mathbb{R}^m$$

existe en una bola suficientemente pequeña  $U \subseteq W$ , alrededor de  $(x_{10}, \dots, x_{m0})$  y ella es función de clase  $C^1$ .

Dada  $\phi$ .

**Primer problema.** ¿Cuál es el dominio máximo  $U_{max}$  de tal forma que

$$\phi : U_{max} \subseteq \mathbb{R}^m \longrightarrow \phi(U_{max}) \subseteq \mathbb{R}^m$$

sea un difeomorfismo?

**Segundo problema.** ¿Es posible determinar a  $\phi^{-1}$  de manera explícita?

Comentamos parcialmente lo que sucede en los ejemplos.

La aplicación de Viète  $\mathcal{V}_n$ , vista con dominio  $\mathbb{C}^* \times \mathbb{C}^n$ , es polinomial y por ello es  $C^\infty$ . Sin embargo su inversa  $\mathcal{V}_n^{-1}$  solo está definida en abiertos pequeños. Para grados  $n = 2, 3, 4$  sabemos que  $\mathcal{V}_n^{-1}$  no es globalmente  $C^1$  pues aparecen radicales (el inolvidable  $\sqrt{b^2 - 4ac}$  para el caso  $n = 2$ ). Más sorprendentemente, el famoso resultado de Abel y Galois nos dice que para  $n \geq 5$ , no existe una fórmula general con radicales para  $\mathcal{V}_n^{-1}$ .

Dado un campo vectorial polinomial  $V$  definido en todo  $\mathbb{R}^m$ , las cajas de flujo  $\phi_\alpha$  que aparecen en el teorema de Picard, en general tienen las siguientes características.

El dominio de  $\phi_\alpha$  es pequeño, pues geométricamente una caja de flujo peina a las trayectorias de  $V$ . Es claro topológicamente, que hay campos  $V$  que no podemos peinar globalmente, como el mostrado en la figura 3. Adicionalmente, una caja de flujo  $\phi_\alpha$  casi nunca se puede determinar explícitamente, de hecho la prueba usual construye a  $\phi_\alpha$  mediante un proceso infinito.

## 4. Aplicaciones polinomiales.

Buscando reducir las familias de difeomorfismos para  $W \subseteq \mathbb{R}^m$ , dos simplificaciones son naturales.

- i) Hacemos el dominio  $W$  lo más amplio posible, todo el espacio afín.
- ii) Consideramos aplicaciones polinomiales (explícitas de calcular).

Consideremos  $\mathbb{K}$  el campo real  $\mathbb{R}$  o complejo  $\mathbb{C}$  y una aplicación polinomial

$$\phi = (\phi_1, \dots, \phi_m) : \mathbb{K}_{z_1 \dots z_m}^m \longrightarrow \mathbb{K}_{w_1 \dots w_m}^m.$$

Es posible definir sus derivadas parciales, matriz Jacobiana  $DF$  y supondremos que  $\det(D\phi) \neq 0$  en todo punto de  $\mathbb{K}^m$ .

Claramente, si  $\phi : \mathbb{R}^m \longrightarrow \mathbb{R}^m$  es un difeomorfismo polinomial, entonces necesariamente  $\det(D\phi)$  es no nulo para todo punto de  $\mathbb{R}^m$ . La misma afirmación en el caso de  $\phi$  polinomial complejo en  $\mathbb{C}^m$  sigue análogamente, desplegando las correspondientes partes real e imaginaria en  $\mathbb{R}^{2m}$ .

Nuestros objetos geométricos son  $\mathbb{R}^m$  y  $\mathbb{C}^m$  y sus grupos de difeomorfismos polinomiales los denotamos

$$Aut(\mathbb{R}^m) \text{ y } Aut(\mathbb{C}_m).$$

Por ejemplo, para  $\mathbb{R}^m$  el grupo de translaciones, el grupo de isometrías, el grupo general lineal, el grupo afín

son subgrupos de  $Aut(\mathbb{R}^m)$ , ver [14].

El siguiente subgrupo muestra que  $Aut(\mathbb{K}^m)$  es en efecto un grupo enorme, para  $m \geq 2$ , ver [16].

Un movimiento de cartas de  $\mathbb{K}^m$  en la  $m$ -ésima dirección es

$$\begin{aligned} \phi : \mathbb{K}^m &\longrightarrow \mathbb{K}^m \\ (z_1, \dots, z_m) &\longmapsto (z_1, \dots, z_{m-1}, z_m + h(z_1, \dots, z_{m-1})) \end{aligned}$$

donde  $h$  es polinomial, ver Fig. 5.

En efecto, para tal  $\phi$  el sistema de ecuaciones algebraicas

$$\begin{cases} z_1 = w_1 \\ \vdots \\ z_{m-1} = w_{m-1} \\ z_m + h(z_1, \dots, z_{m-1}) = w_m \end{cases}$$

puede despejarse, obteniéndose  $\phi^{-1}$  polinomial explícitamente.

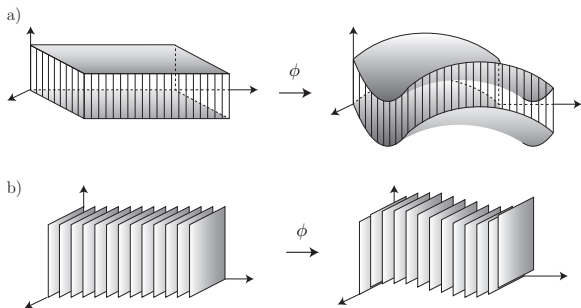


Fig 5. a) Un movimiento de cartas  $\phi : \mathbb{R}^3 \longrightarrow \mathbb{R}^3$  en la dirección vertical. b) Una composición  $\phi_j \circ \phi_i : \mathbb{R}^3 \longrightarrow \mathbb{R}^3$  de

movimientos de cartas en distintas direcciones.

**Observación.** Los movimientos de cartas polinomiales  $\{\phi\}$  en la  $j$ -ésima dirección forman un subgrupo de  $Aut(\mathbb{K}^m)$  la composición.

ii) Todos los movimientos de cartas polinomiales  $\{\phi\}$  en todas las direcciones  $j \in 1, \dots, m$  forman un subgrupo de  $Aut(\mathbb{K}^m)$  bajo la composición.

## 5. La conjetura Jacobiana.

Consideramos una aplicación polinomial

$$\phi : \mathbb{K}_{z_1 \dots z_m}^m \longrightarrow \mathbb{K}_{w_1 \dots w_m}^m$$

real o compleja. ¿Será difícil decidir si es un automorfismo, esto es si  $\phi$  es invertible?

La conjetura Jacobiana. Si  $\det(D\phi) \neq 0$  en todo  $\mathbb{K}_{z_1 \dots z_m}^m$  entonces la aplicación polinomial inversa

$$\phi^{-1} : \mathbb{K}_{w_1 \dots w_m}^m \longrightarrow \mathbb{K}_{z_1 \dots z_m}^m$$

existe.

Esta conjetura fue propuesta por O. H. Keller en 1939, [11], ver también [17], [7]. La conjetura Jacobiana es falsa para aplicaciones polinomiales en  $\mathbb{R}^m$ , cuando permitimos que  $\det(DF) : \mathbb{R}^m \longrightarrow \mathbb{R}$  sea un polinomio no nulo y no constante, i.e. que se anula en algunos puntos de  $\mathbb{R}^m$  pero no en todos.

**Contra-ejemplo** de S. Pinchuk [15]. La aplicación polinomial  $\phi : \mathbb{R}^2 \longrightarrow \mathbb{R}^2$ ,

$$\begin{aligned} \phi = (\phi_1(x, y), \phi_2(x, y)) = & \\ & (x^6 y^4 - 4x^5 y^3 + 3x^4 y^3 + 6x^4 y^2 - 7x^3 y^2 - 4x^3 y \\ & + 3x^2 y^2 + 5x^2 y + x^2 - 3xy - x + y, 2xy - 57x^2 y^2 \\ & + 45x^5 y^4 - 100x^4 y^3 + 106x^3 y^3 + 50x^3 y^2 + \frac{39}{2}x^4 y^4 \\ & + 50xy^2 - \frac{167}{4} - 16x^5 y^5 + 25x^7 y^6 + 10x^6 y^5 \\ & - 5x^3 y^4 - 45x^9 y^8 - 60x^8 y^7 + 60x^7 y^7 - 54x^6 y^6 \\ & + 30x^5 y^6 - 75x^{11} y^{10} + 150x^{10} y^9 - 150x^9 y^9 \\ & + \frac{525}{4}x^8 y^8 - 75x^7 y^8) \end{aligned}$$

cumple que  $\det(D\phi) \neq 0$  en todo punto de  $\mathbb{R}^2$  y sin embargo  $\phi$  no es invertible.

Como consecuencia del contra-ejemplo:

Los difeomorfismos polinomiales de  $\mathbb{C}^m$  con coeficientes reales forman un subgrupo propio de los difeomorfismos polinomiales de  $\mathbb{R}^m$ .

Sin embargo  $Aut(\mathbb{C}^m)$  no es un subgrupo de  $Aut(\mathbb{R}^m)$ , pues un automorfismo complejo no siempre lleva  $\mathbb{R}^m \subset \mathbb{C}^m$  en el mismo.

La conjetura da origen a la siguiente pregunta: ¿Todo difeomorfismo polinomial de  $\mathbb{K}^m$  es composición de un número finito de movimientos de cartas?

## 6. ¿Por qué la conjetura Jacobiana es difícil?

Invertir funciones polinomiales de una variable es no trivial, en efecto:

**Teorema.** *N. H. Abel – E. Galois. Existe un abierto  $\mathcal{D}$  del espacio de polinomios,  $n \geq 5$ , tal que si*

$$P(z) = c_n z^n + c_{n-1} z^{n-1} + \dots + c_1 z + c_0 : \mathbb{C}_z \longrightarrow \mathbb{C}_w,$$

*esta en  $\mathcal{D}$ , entonces la función inversa  $z = P^{-1}(w)$  resulta imposible de expresar por radicales.*

Esto es, para dimensión  $m \geq 2$ , la conjetura Jacobiana en  $\mathbb{K}^m$  es difícil ya que, ella afirma que dado el sistema algebraico

$$\begin{cases} \phi_1(z_1, \dots, z_m) = w_1 \\ \vdots \\ \phi_m(z_1, \dots, z_m) = w_m \end{cases}$$

no necesariamente lineal, bajo la condición  $\det(D\phi) \neq 0$ , existe la aplicación inversa polinomial

$$\begin{cases} \phi_1^{-1}(w_1, \dots, w_m) = z_1 \\ \vdots \\ \phi_m^{-1}(w_1, \dots, w_m) = z_m. \end{cases}$$

En lenguaje llano, decimos que el despeje de las  $z_1, \dots, z_m$  existe.

Es posible mostrar que la Conjetura Jacobiana puede enunciarse usando al menos las siguientes teorías sobre  $\mathbb{R}^n$  y  $\mathbb{C}^m$ :

- Las ecuaciones diferenciales ordinarias, ver [5], [6], [7].
- El álgebra, ver [3], [7], [8].
- La topología de cubiertas y fibraciones, ver [5], [6], [8].
- Las singularidades de curvas algebraicas, ver [7], [8].
- La geometría diferencial de métricas planas, ver [5], [6].

Etc.

El estudio de automorfismos holomorfos, no polinomiales de  $\mathbb{C}^m$  es actualmente un campo abierto, ver por ejemplo [16], [9], [12], [4].

## Referencias

- [1] V. I. Arnold; *On teaching mathematics*. (1997). Visible en distintos sitios de la red, v.g. <http://pauli.uni-muenster.de/~munsteg/arnold.html>
- [2] H. Bass, G. Meisters; *Polynomial flows in the plane*. Advances in Mathematics, Vol. 55, 2 (1985), 173–208.
- [3] H. Bass, *et al.* ed.; *Polynomial Automorphisms and Related Topics*. Publising House of Sci. and Tech. Hanoi Vietnam, 2007.
- [4] M. Brunella; *Complete polynomial vector fields on the complex plane*. Topology, Vol. 43, 2 (2004), 433–445.
- [5] A. Bustinduy, L. Giraldo, J. Muciño–Raymundo; *Jacobian mates for non singular polynomial maps in  $\mathbb{C}^n$  with one–dimensional fibers*. J. of Singularities. Vol. 9 (2014), 27–42.
- [6] A. Bustinduy, L. Giraldo, J. Muciño–Raymundo; *Vector fields from locally invertible polynomial maps in  $\mathbb{C}^n$* . Colloquium Math. Vol. 140, No. 2 (2015), 205–220.
- [7] A. van den Essen ed.; *Automorphisms of Affine Spaces*. Kluwer, 1995.
- [8] A. van den Essen; *Polynomial Automorphisms and the Jacobian Conjecture*. Birkhäuser Verlag, Germany, 2000.
- [9] F. Forsternic; *Stein Manifolds and Holomorphic Mappings*. Springer, Dordrecht, 2011.
- [10] G. Katz; *How tangents solve algebraic equations, or a remarkable geometry of discriminant varieties*. Expo. Math., Vol. 21, No. 3, (2003), 219–261.
- [11] O.–H. Keller, *Ganze Cremona–Transformationen*. Monatsch. Math. Phys. 47 (1939), 299–306.
- [12] L. Lempert, E. Andersen; *On the group of holomorphic automorphisms of  $\mathbb{C}^n$* . Inventiones mathematicae Vol. 110, 2 (1992), 371–388.
- [13] S. Mac Lane; *Categories for the Working Mathematician*. Springer Verlag, New York, 1978.
- [14] J. Muciño–Raymundo; *Algunos problemas de geometría en  $\mathbb{R}^n$  y  $\mathbb{C}^n$  para el siglo XXI*. Miscelánea Matemática, Vol. 30 (2000), 41–58.
- [15] S. Pinchuk; *A counterexample to the real Jacobian Conjecture*. Math. Zeitschrift, 217 (1994), 1–4.
- [16] J.–P. Rosay, W. Rudin; *Holomorphic maps from  $\mathbb{C}^n$  to  $\mathbb{C}^n$* . Transactions of the American Mathematical Society, Vol. 310 (1988), 47–86.
- [17] S. Smale; *Mathematical problems for the next century*. The Mathematical Intelligencer, Vol. 20, 2 (1998), 7–15.
- [18] J.–L. Gutiérrez, F. Sánchez; *Matemática del crecimiento organico. De la alometría al crecimiento estacional*. Facultad de Ciencias, UNAM, Cd. de México (2017).
- [19] D. W. Thompson; *On Growth and Form*. Dover, Nueva York, (1992).